



# Fundamentos de Cosmologia AST-413 – 4

## Aula 5 – Modelos de Universo

C.A.Wuensche / C. Córdula Dantas

[ca.wuensche@inpe.br](mailto:ca.wuensche@inpe.br)

INPE – Divisão de Astrofísica

# O Arcabouço teórico

- As equações de Einstein

$$R_{\mu\nu} - \frac{1}{2}R g_{\mu\nu} + \Lambda g_{\mu\nu} = \frac{8\pi G}{c^4} T_{\mu\nu}$$

1

- Um caso particular são as chamadas equações de Friedmann-Lemaitre

# O Arcabouço teórico



- Relações que descrevem a distância  $ds$  entre dois pontos no espaço são chamadas de *métricas* – um Universo homogêneo e isotrópico deve obedecer à chamada métrica de Robertson-Walker

$$ds^2 = dt^2 - a(t)^2 \left( \frac{dr^2}{1 - kr^2} + r^2 d\theta^2 + r^2 \sin^2 \theta d\varphi^2 \right)$$

© A. Wuensche (INPE, 2020)

# Equações de Friedmann-Lemaitre

Termo cinético, R é o fator de expansão do Universo (equivalente à energia cinética).

Termo de fontes, descreve os causadores da mudança dinâmica do Universo (equivalente à energia potencial gravitacional).

$$\left(\frac{\dot{a}}{a}\right)^2 = \frac{8\pi G}{3c^2} \varepsilon - \frac{kc^2}{R_0^2 a^2}$$

$$\frac{\ddot{a}}{a} = -\frac{4\pi G}{3c^2} \left( \varepsilon + \frac{3p}{c^2} \right)$$

$$P = \omega \varepsilon$$

$$\rightarrow \dot{\varepsilon} + 3\frac{\dot{a}}{a}(\varepsilon + p) = 0$$

2

3

4

Termo de fontes

Equação de estado

Termo dinâmico, envolve uma aceleração



# DENSIDADES DE ENERGIA E EVOLUÇÃO DO UNIVERSO

# Evolução versus componentes

- A dinâmica da expansão ocorre conforme o comportamento da componente dominante em determinada época
- Componentes: matéria e radiação (bom, e uma “constante cosmológica”)
- A eq. (4) possui valores diferentes para  $w$  em função da componente, logo, a densidade total do Universo é dada pela soma de suas componentes (vistas na aula 2: matéria bariônica, matéria escura, neutrinos, fótons e energia escura).

$$\varepsilon = \sum_i \varepsilon_i \rightarrow P = \sum_i \omega_i \varepsilon_i$$

5

- A eq. (3) pode ser resolvida com (5), individualmente para cada componente

$$\varepsilon_i + 3 \frac{\dot{a}}{a} (\varepsilon_i + p_i) = 0$$

6

$$\varepsilon_i + 3 \frac{\dot{a}}{a} \varepsilon_i (1 + \omega_i) = 0$$

- Rearranjando a eq. (7), caímos numa EDO cuja solução padrão será uma lei de potência para a:

$$\frac{d\varepsilon_i}{\varepsilon_i} = -3(1 + \omega_i) \frac{da}{a}$$

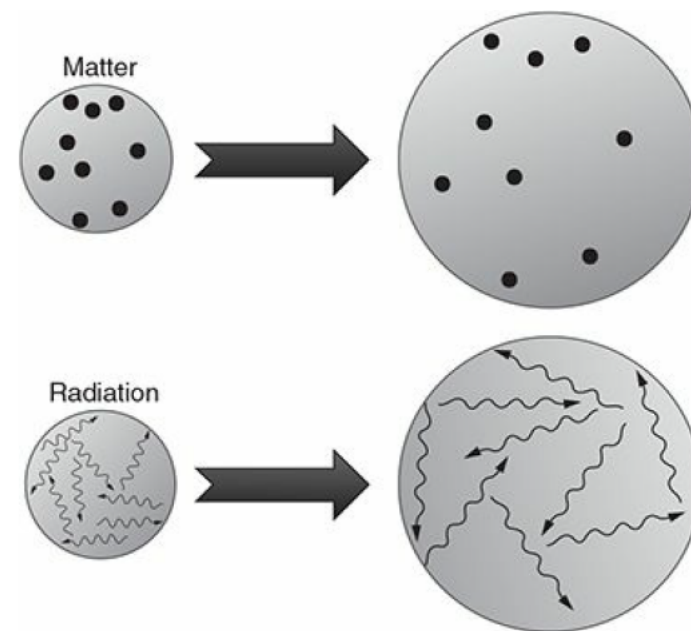
7

$$\varepsilon_i(a) = \varepsilon_{i,0} a^{-3(1+\omega_i)}$$

8

Valores diferentes de w fornecerão soluções diferentes!!

- Matéria:  $\omega_i = 0 \rightarrow \varepsilon_m(a) = \varepsilon(m)_0 a^{-3}$  9
- Radiação  $\omega_i = 1/3 \rightarrow \varepsilon_m(a) = \varepsilon(m)_0 a^{-4}$  10
- O termo extra ( $1/a$ ) na radiação aparece em função da expansão cósmica que altera a energia dos fótons, uma vez que  $E = h\nu = hc/\lambda \propto a^{-1}$



**Figure 5.1** The dilution of nonrelativistic particles (“matter”) and relativistic particles (“radiation”) as the universe expands.

Ref: Introduction to Cosmology (B.Ryden, 2016)

- O raciocínio anterior baseia-se na hipótese de que fótons se conservam, o que não é verdade (galáxias e estrelas produzem fótons o tempo todo; grande parte deles é absorvido)
- Fótons da CMB, entretanto, são muito menos absorvidos devido à densidade do Universo, e sua densidade de energia é >> que a densidade de fótons emitidos por todas as outras fontes.
- A aproximação de considerar que a contribuição para a radiação do Universo vem somente da CMB é aceitável.

$$\varepsilon_{CMB,0} = \sigma T_0^4 = 4.175 \times 10^{-14} J/m^3 = 0.2606 MeV/m^3$$

11

$$\Omega_{CMB,0} = \frac{\varepsilon_{CMB,0}}{\varepsilon_{c,0}} = \frac{0.2606}{4870} = 5.35 \times 10^{-5}$$

12

- Neutrinos contribuem com uma densidade de energia semelhante à dos fótons da CMB. Os cálculos detalhados mencionados pela B. Ryden na pág. 72 podem ser encontrados, p.ex., no cap. 3 do livro “The Early Universe” (E. Kolb e M. Turner, 1990).

$$\varepsilon_\nu = \frac{7}{8} \left( \frac{4}{11} \right)^{4/3} = 0.227 \varepsilon_{CMB} = 0.0591 MeV/m^3$$

13

$$\Omega_\nu = 0.681 \Omega_{CMB}$$

- Os resultados acima valem para neutrinos relativísticos em que sua massa  $\gg$  massa de repouso. Hoje, teríamos:

14

$$\Omega_{r,0} = \Omega_{\nu,0} + \Omega_{CMB,0} = 9 \times 10^{-5}$$

15

- Matéria escura e energia escura não tem suas densidades determinadas de maneira tão precisa, uma vez que seus constituintes são desconhecidos.
- Evidências atuais sugerem que o Universo é quase plano (mas não completamente) e que nele existem duas componentes cujo efeito pode ser identificado indiretamente.
- No caso da matéria escura, efeitos nas curvas de rotação de galáxias e lentes gravitacionais sugerem que  $\Omega_{m,0} \sim 6.5 \Omega_{b,0} = 0.311$ , com os valores publicados no Planck 2018 results: VI. Cosmological Parameters (A&A, 641, 2020).
- O valor para a energia escura é obtido indiretamente das medidas do Planck e de BAO, e é da ordem de  $\Omega_{\Lambda,0} = 0.6889$  (idem, resultado do Planck).

- Os valores  $\Omega_{m,0} = 0.311$ ,  $\Omega_{\Lambda,0} = 0.6889$ ,  $\Omega_{b,0} = 0.049$  e  $\Omega_{k,0} = 0$  são parâmetros do que normalmente chamamos de “Concordance Model” e a B. Ryden chama de “Benchmark Model”.
- Podemos estimar, indiretamente,  $\Omega_{\Lambda,0} = 1 - \Omega_{M,0} - \Omega_{r,0} \approx 0.69$ , já considerando que a curvatura é igual a zero,
- Podemos comparar as épocas de “dominação” de cada uma dessas componentes, em função do fator de escala.

✓ Hoje:  $\frac{\varepsilon_{\Lambda,0}}{\varepsilon_{M,0}} = \frac{\Omega_{\Lambda,0}}{\Omega_{M,0}} = \frac{0.69}{0.31} = 2.23$

16

✓ Quando matéria e  $\Lambda$  se igualaram:

$$\frac{\varepsilon_{\Lambda}(a)}{\varepsilon_M(a)} = \frac{\varepsilon_{\Lambda,0}}{\varepsilon_{M,0}/a^3} = \frac{\Omega_{\Lambda}(a)}{\Omega_M(a)} a^3 = 1$$

17

$$a_{m\Lambda} = \left( \frac{\Omega_{\Lambda}(a)}{\Omega_M(a)} \right)^{-1/3} \approx 0.766 \rightarrow z(a = 0.766) = 0.305$$

18

$z_{eq}$ , na verdade, é bem maior que 0.305

- ✓ Quando matéria e radiação se igualaram:

$$\frac{\varepsilon_r(a)}{\varepsilon_M(a)} = \frac{\varepsilon_{r,0}}{\varepsilon_{M,0}} a = \frac{\Omega_{r,0}}{\Omega_{M,0}} a$$

19

$$a_{m,r} = \frac{\Omega_r(a)}{\Omega_M(a)}^{-1} = \frac{9 \times 10^{-5}}{0.31} \approx 1/3400 \approx 2.9 \times 10^{-4}$$

20

$$z(a = 2.9 \times 10^{-4}) = 3447.27$$

21

$z_{\text{eq}}$ , na verdade, é maior que 3447.27

- ✓ Fizemos essas contas considerando neutrinos relativísticos, pois na época sua energia era  $\gg$  massa de repouso. Hoje, eles teriam temperaturas da ordem de 1 K, sendo, portanto, não-relativísticos.
- ✓ Componentes diferentes dominam a dinâmica da expansão (como a se comporta) em épocas diferentes. A radiação dominou primeiro ( $a^{-4}$ ), depois a matéria ( $a^{-3}$ ) e hoje  $\Lambda$  ( $a^2$ ).
- ✓ Possível usar a ou z como substituto de t, uma vez que a expansão cósmica é monotônica.

- Analisar a eq. de Friedmann com todas as componentes simultâneas não é simples, de forma que nas próximas seções vamos fazer a análise caso a caso.
- Por que não é simples? Veja a dependência com o expoente de a...

$$\left(\frac{\dot{a}}{a}\right)^2 = \frac{8\pi G}{3c^2} \sum_i \varepsilon_{i,0} a^{-1-3w} - \frac{kc^2}{R_0^2}$$

22

- $w=-1$  para  $\Lambda$ ,  $w=0$  para matéria e  $w=1/3$  para radiação, de forma que as soluções para cada época terão uma integração com dependência diferente para  $a$ .
- Seguiremos com as análises separadas.



# MODELO DE UNIVERSO VAZIO

# Um universo vazio?

- Ausência de massa, de radiação, de energia escura...
- A solução para a eq. de Friedmann, nesse caso, é (para  $a_0=1$ ):

23

$$\dot{a}^2 = -\frac{\kappa c^2}{R_0^2}$$

- Solução possível para um universo fechado ( $k=-1$ )

$$\dot{a} = \pm \frac{c}{R_0} \rightarrow \int da = \frac{c}{R_0} \int_{t_0}^t dt = \frac{t}{t_0}$$

24

- Com  $t_0=R_0/c$ . Nesse caso, a idade do Universo  $t_0 = H_0^{-1}$ .  
Não há matéria para desacelerar a expansão.

Curiosidade matemática..:

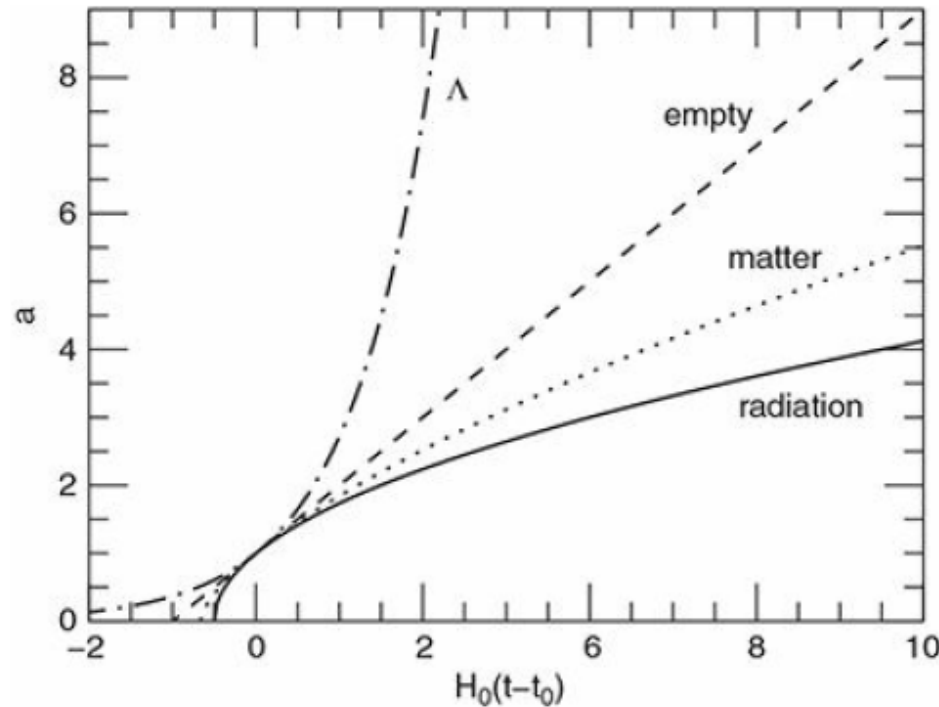
- Para efeitos de calcular um sinal físico, podemos considerar um universo vazio, com densidade muito pequena.
- Supondo a existência de um observador, a distância própria entre uma galáxia distante e o observador é dada por:

$$d_p(t_0) = c t_0 \int_{t_e}^{t_0} \frac{dt}{t} = c t_0 \ln(t_0/t_e)$$

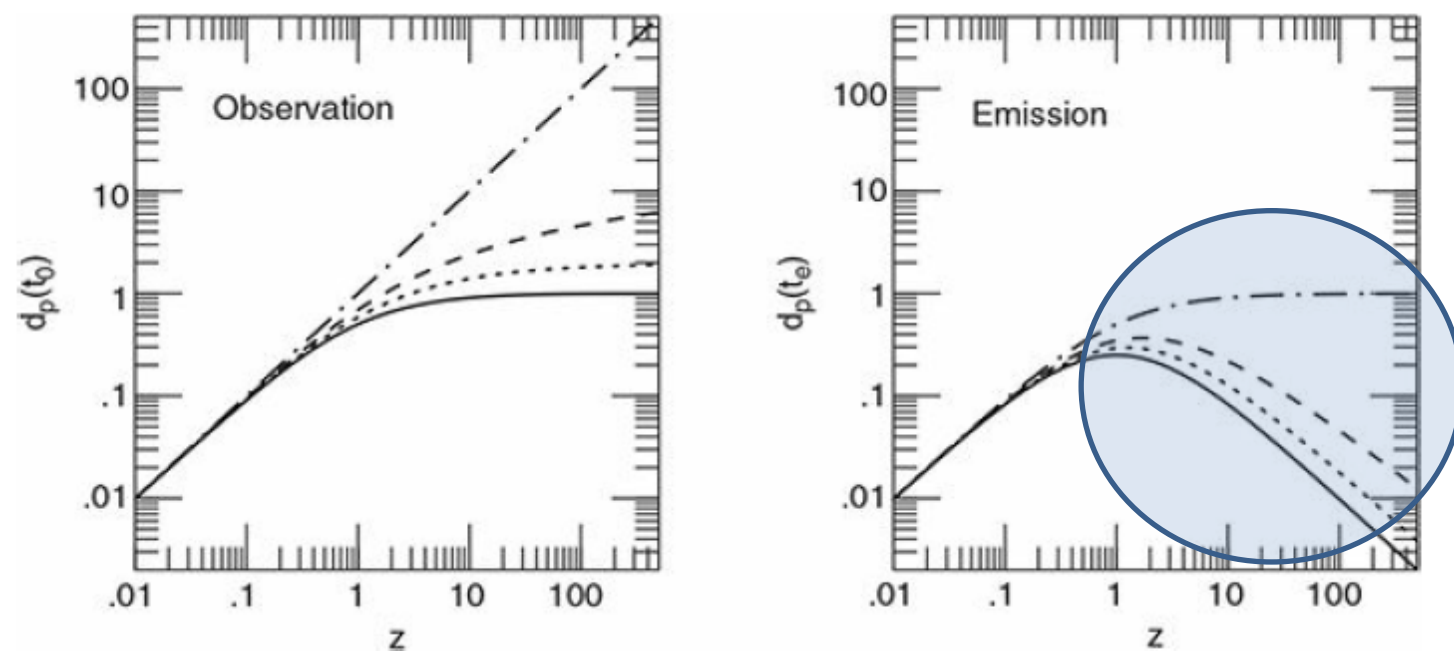
25

$$\begin{aligned} d_p(t_0) &= c t_0 \int_{t_e}^{t_0} \frac{dt}{t} = c t_0 \ln(t_0/t_e) \\ &= \frac{c}{H_0} \ln(1+z) \end{aligned}$$

26



Porque esse  
comportamento para a  
distância no momento  
da emissão?



Ref: Introduction to Cosmology (B.Ryden, 2016)

C. A. Wuensche (INPE, 2020)

- No caso do emissor, o Universo era menor por uma razão entre fatores de escala  $a(t_e)/a(t_0) = 1/(1+z)$ . Assim, a equação para  $d(t_0)$  é reescrita para  $d(t_e)$  como:

$$d_p(t_e) = \frac{c}{H_0} \frac{\ln(1+z)}{1+z}$$

27

- A eq. () tem um máximo em  $z = 1.72$ . Antes disso vemos objetos mais distantes a uma distância própria do emissor cada vez maior.
- Após essa distância máxima a queda em  $d_p(t_e)$  ocorre porque, no passado ( $a(t_e) \ll a(t_0)$ ), os emissores estavam muito mais perto dos observadores.

# MODELOS DE UNIVERSO COM UMA COMPONENTE

# Universos com uma componente

- De novo, a eq. de Friedmann... Mas agora com a presença explícita de  $\Lambda$ :

$$\left(\frac{\dot{a}}{a}\right)^2 = \frac{8\pi G}{3c^2} (\varepsilon_M + \varepsilon_\Lambda) - \frac{kc^2}{R_0^2 a^2}$$

29

- Num primeiro momento, vamos considerar um universo plano ( $k=0$ ) e explorar as possibilidades de soluções com diferentes valores de  $\varepsilon$ : somente matéria, somente radiação e somente  $\Lambda$ .

- Ryden supõe uma solução em que  $a \propto t^q$ , modificando a eq. Friedmann e derivando uma solução para  $q$  ( $q=2/(3+3w)$ )

$$H_0 \equiv \left( \frac{\dot{a}}{a} \right) = \frac{2}{3(1+w)} t_0^{-1}$$

$$t_0 = \frac{2}{3(1+w)} H_0^{-1}$$

30

- Vários resultados para tempo, densidade e fator de escala são derivados no texto, e vamos discutir o resultado referente ao tempo da fonte emissora

$$\frac{1}{1+z} = \frac{a(t_0)}{a(t_e)} = \left( \frac{t_0}{t_e} \right)^{2/(3+3w)}$$

31

$$t_e = \frac{t_0}{(1+z)^{3(1+w)/2}} = \frac{2}{2(1+w)H_0} \frac{1}{(1+z)^{3(1+w)/2}}$$

32

 $w \neq -1/3$

- A distância própria até a galáxia emissora é dada por:

 $w \neq -1/3$ 

$$d_p(t_0) = c \int_{t_e}^{t_0} \frac{dt}{a(t)} = c t_0 \frac{3(1+w)}{1+3w} [1 - (t_e/t_0)^{(1+3w)/(3+3w)}] \quad 33$$

- Escrevendo a eq. (32) em termos de  $H_0$  e  $z$ , a distância própria fica:

$$d_p(t_0) = \frac{c}{H_0} \frac{2}{1+3w} [1 - (1+z)^{-(1+3w)/2}] \quad 34$$

- A distância própria ao horizonte cósmico é a distância definida por um emissor distante cujo sinal está agora chegando ao observador.

$$d_{hor}(t_0) = c \int_0^{t_0} \frac{dt}{a(t)} \quad 35$$

- No horizonte, com  $z \gg 1$ , a eq. (33) dá o resultado da eq. (34)

$$d_p(t_0) = \frac{c}{H_0} \frac{2}{1 + 3w}$$

36

- Para  $w=0$  ou  $w=1/3$ , o observador só ve uma porção do universo; para  $w \leq -1/3$ , o sentido da distância infinita (ou negativa, para  $w < -1/3$ ) é que todo o espaço está causalmente conectado a todos os observadores.

# Universo só com matéria

- $w=0$ ,  $t_0 = 2/3H_0$  (da eq. (30)).

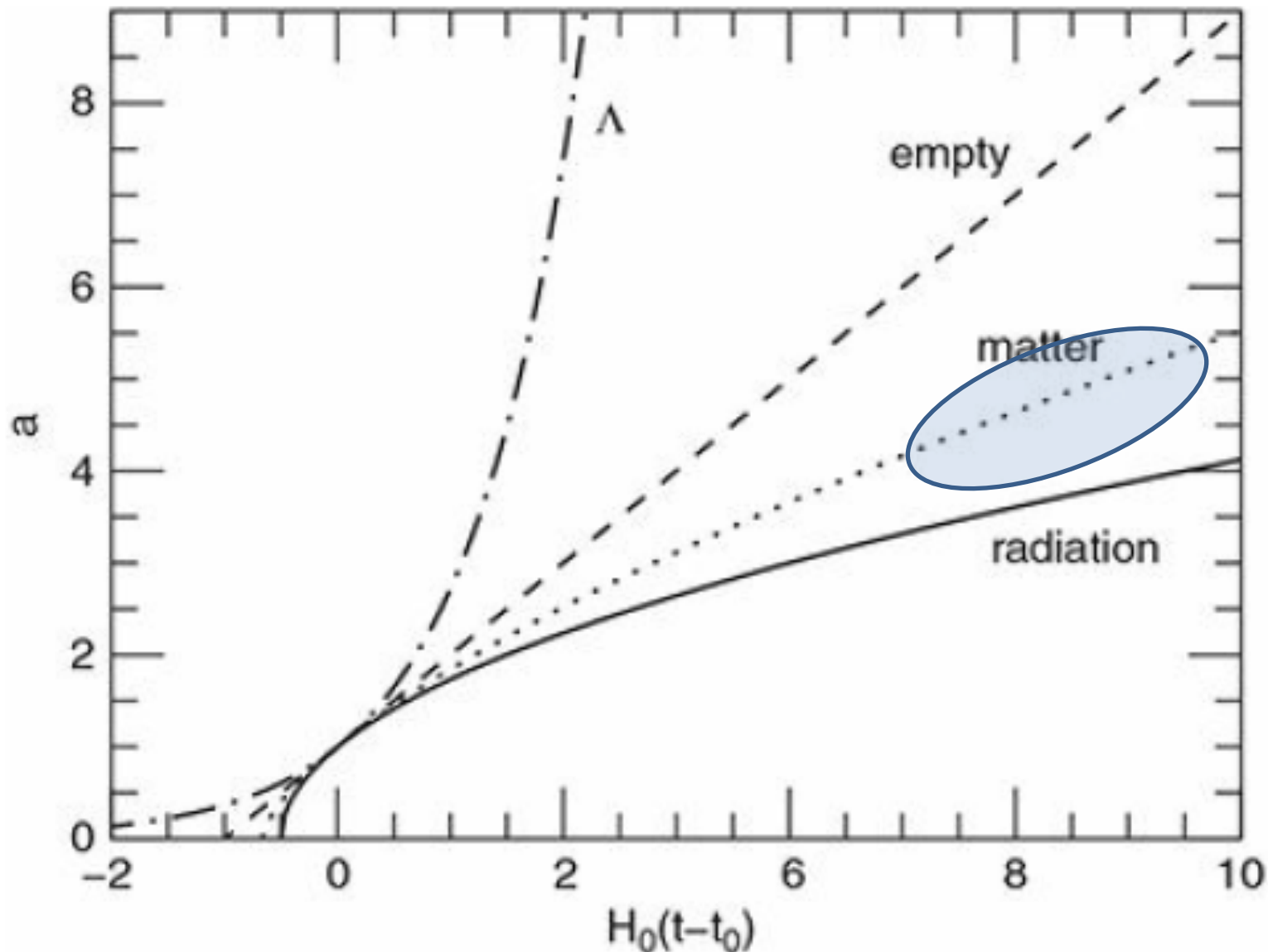
$$d_{hor}(t_0) = 3 c t_0 = 2 c/H_0 \quad [37]$$

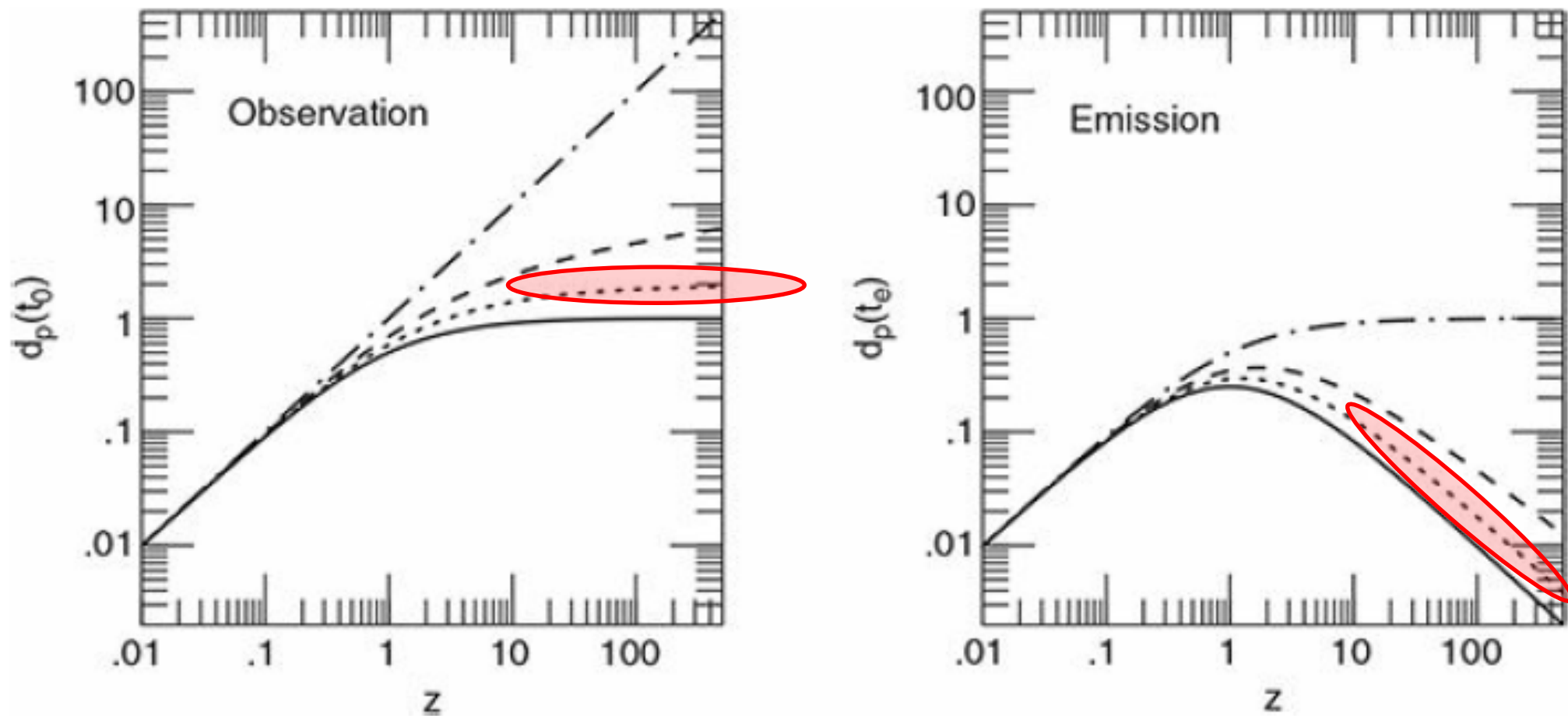
$$a_m(t) = (t/t_0)^{2/3} \quad [38]$$

- As distância até uma galáxia em um redshift  $z$ , dos pontos de vista de um observador na galáxia ou num ponto distante, são dadas por:

$$d_p(t_0) = c \int_{t_e}^{t_0} \frac{dt}{(t/t_0)^{2/3}} = 3 c t_0 \left[ 1 - \left( \frac{t_e}{t_0} \right)^{1/3} \right] = \frac{2c}{H_0} \left[ 1 - \frac{1}{\sqrt[3]{1+z}} \right] \quad [39]$$

$$d_e(t_0) = \frac{2c}{H_0(1+z)} \left[ 1 - \frac{1}{\sqrt{1+z}} \right] \quad [40]$$





# Universo só com radiação

- $w=1/3$ ,  $t_0 = 1/2H_0$  (da eq. (30)).

$$d_{hor}(t_0) = 2 c t_0 = c/H_0$$

41

$$a_m(t) = (t/t_0)^{1/2}$$

42

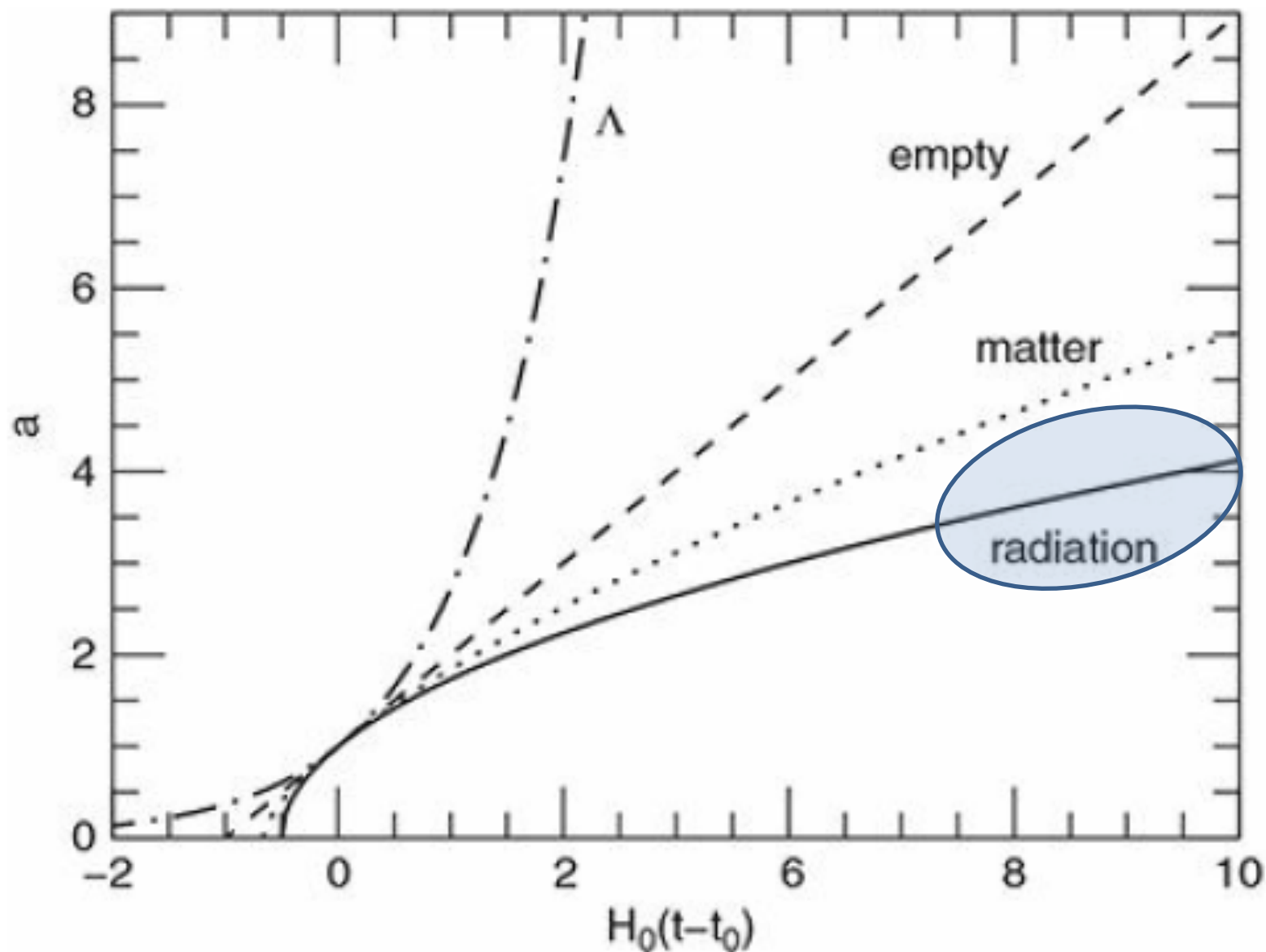
- As distância até uma galáxia em um redshift  $z$ , dos pontos de vista de um observador na galáxia ou num ponto distante, são dadas por:

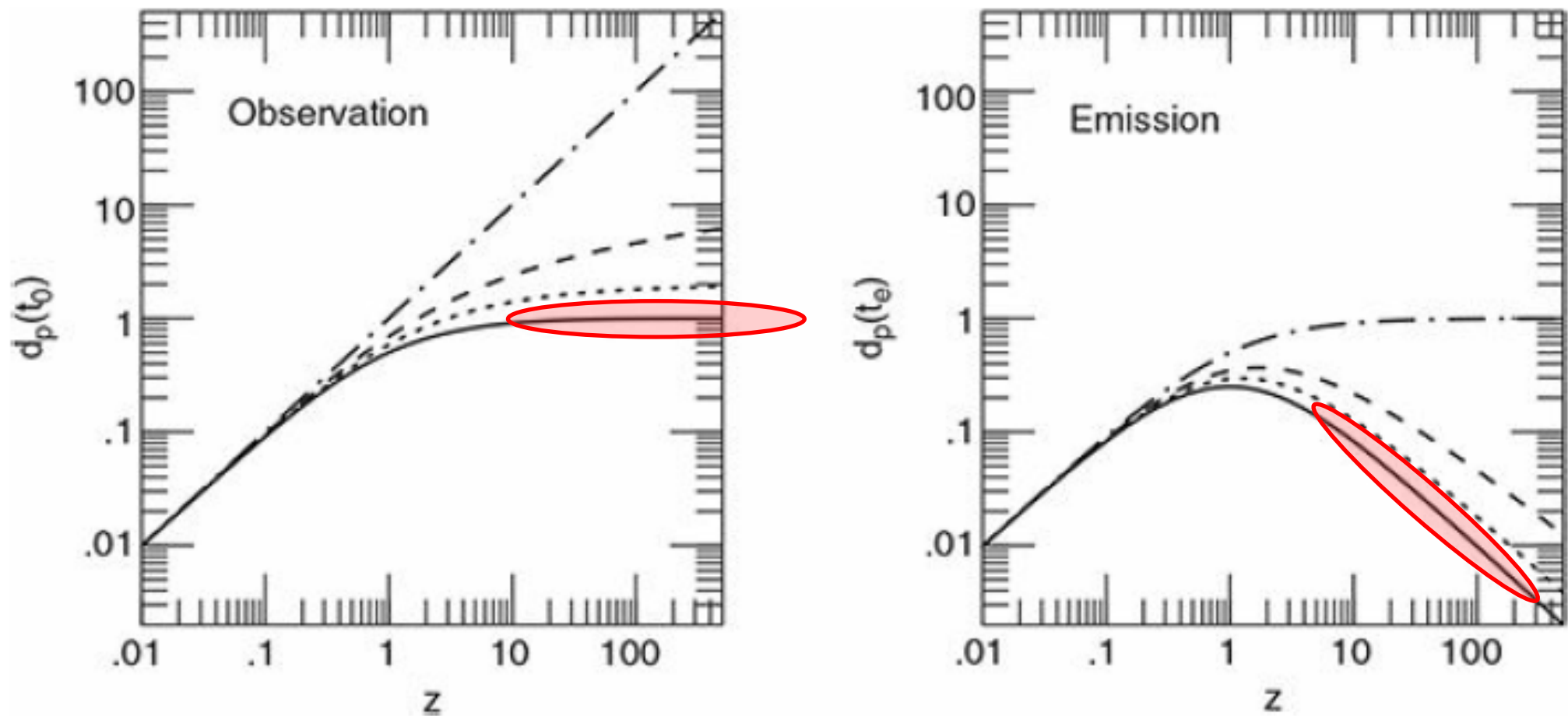
$$d_p(t_0) = c \int_{t_e}^{t_0} \frac{dt}{(t/t_0)^{1/2}} = 2 c t_0 \left[ 1 - \left( \frac{t_e}{t_0} \right)^{1/2} \right] = \frac{c}{H_0} \frac{z}{1+z}$$

43

$$d_e(t_0) = \frac{c}{H_0} \frac{z}{(1+z)^2}$$

44





# Universo só com $\Lambda$

- ✓ Nesse caso,  $w$  pode assumir valores diversos. Se partirmos da eq. de Friedmann considerando somente  $\Lambda$ , teremos uma solução exponencial.

$$\dot{a}^2 = \frac{8\pi G}{3c^2} \varepsilon_\Lambda a^2$$

45

$$\dot{a} = H_0 a, \text{ considerando que } H_0 = \left( \frac{8\pi G}{3c^2} \varepsilon_\Lambda \right)^{1/2}$$

46

- ✓ A solução da eq. (46) é, justamente:

$$a(t) = e^{H_0(t-t_0)}$$

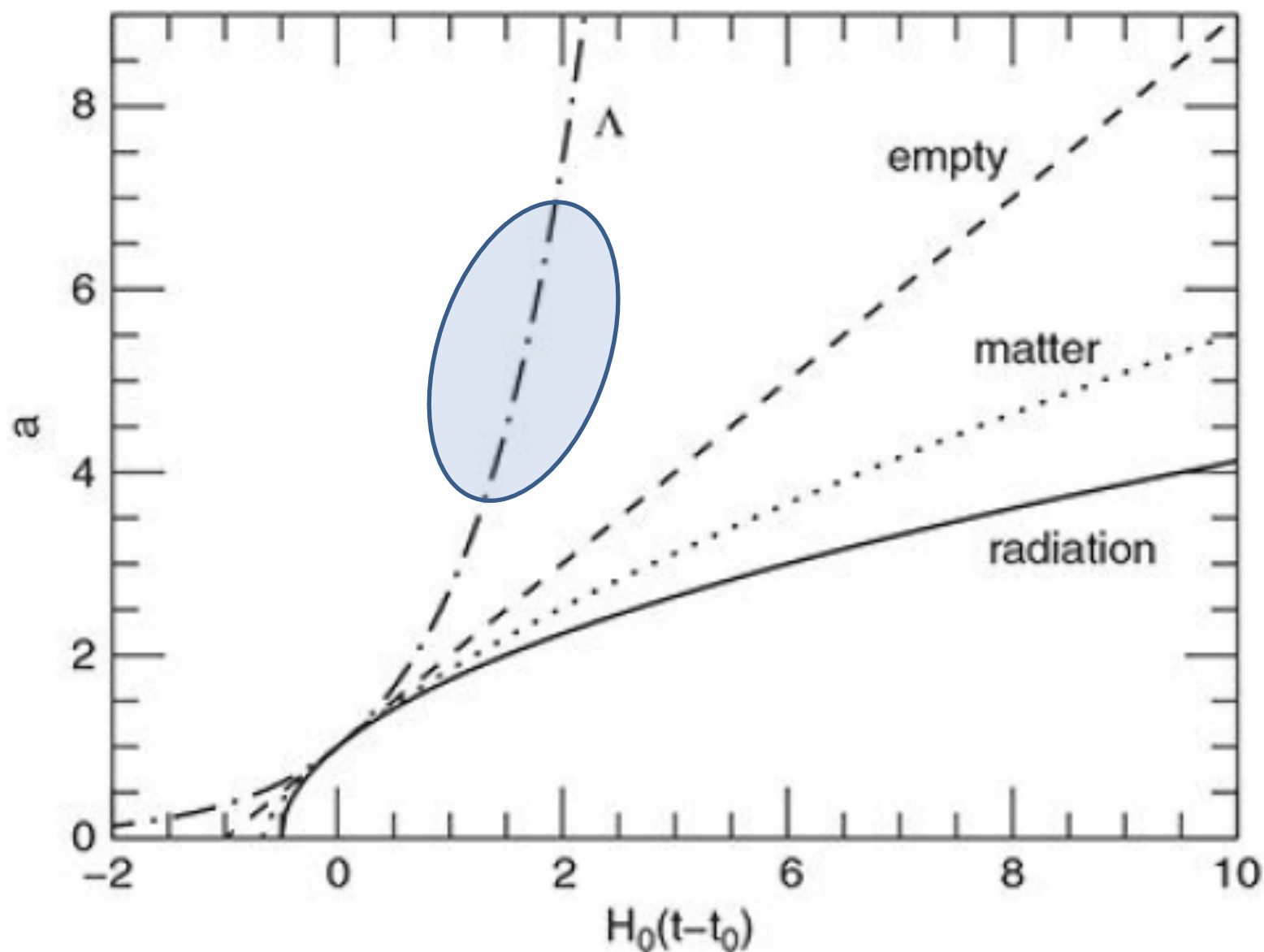
47

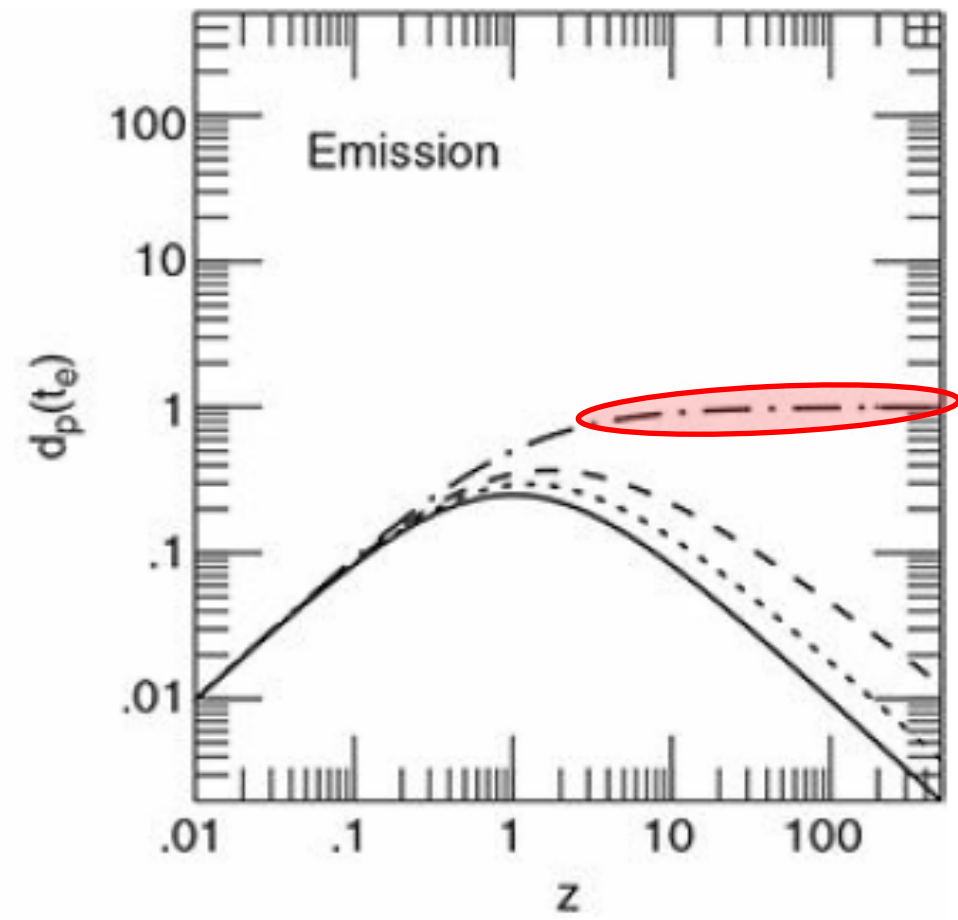
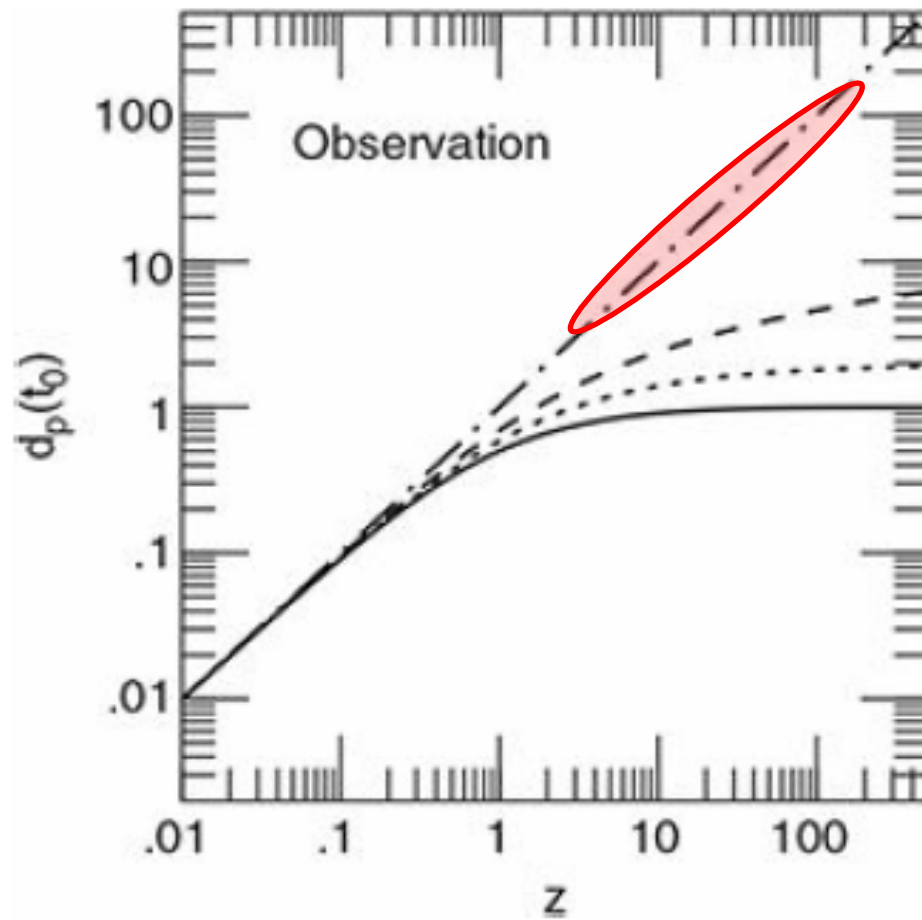
- ✓ Um universo plano dominado por  $\Lambda$  é infinitamente velho e tem  $d_{\text{hor}}$  também infinita. As distâncias próprias são calculadas da mesma forma que para os outros componentes.

$$d_p(t_0) = c \int_{t_e}^{t_0} e^{H_0(t-t_0)} dt = \frac{c}{H_0} \left[ e^{H_0(t_0-t_e)} - 1 \right] = \frac{c}{H_0} z \quad [48]$$

$$d_p(t_e) = \frac{c}{H_0} \frac{z}{1+z} \quad [49]$$

- O universo dominado pela constante cosmológica expande-se permanentemente e a distância própria (para o observador) cresce linearmente
- Para pontos dentro do horizonte e  $z \gg 1$ ,  $d_p \gg c/H_0$ , mas no momento da emissão,  $d_e \sim c/H_0$  (localmente,  $z \ll 1$ ).
- Uma vez que a fonte esteja a uma distância  $d > c/H_0$ , sua velocidade de recessão é  $> c$  e os fótons não vão mais chegar ao observador.





# MODELOS DE UNIVERSO COM VÁRIAS COMPONENTES

# Universo com várias componentes

- Passamos a tratar a eq. de Friedmann completa e o modelo de universo se complica, ao termos que resolve-la simultaneamente para várias componentes que se comportam de forma diferente para cada valor de  $a$  (ou  $z$ ).
- É possível escrever a eq. de Friedmann com todas as dependências das diversas componentes (incluindo a curvatura) na forma

$$E(a) = \frac{H}{H_0} = \frac{\Omega_{r,0}}{a^4} + \frac{\Omega_{m,0}}{a^3} + \Omega_\Lambda + \boxed{\frac{1 - \Omega_0}{a^2}}$$

Se diferente de zero,  
indica curvatura

- O cálculo do tempo cósmico não é mais “direto” e a solução analítica não é possível para todos os tempos.
- Entretanto, soluções numéricas são possíveis em diversas situações

$$\int_0^a \frac{da}{[\Omega_{r,0}/a^2 + \Omega_{m,0}/a + \Omega_{\Lambda,0}a^2 + (1 - \Omega_0)^{1/2}]} = H_0 t$$

51

- Casos:

- Matéria + Curvatura
- Matéria +  $\Lambda$
- Matéria + curvatura +  $\Lambda$
- Matéria + radiação

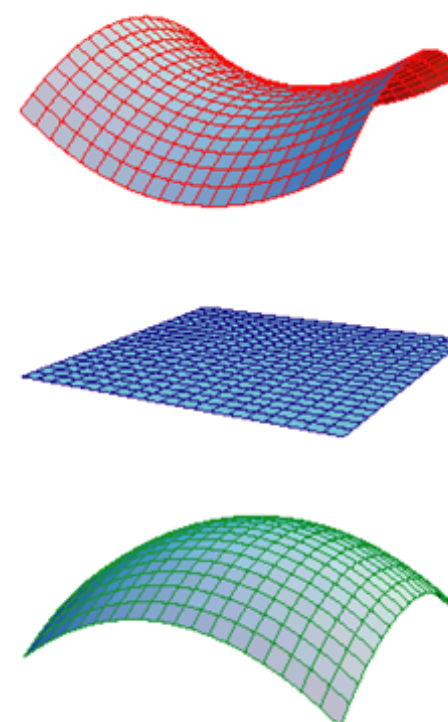
# Evolução Cósmica

Einstein's GR

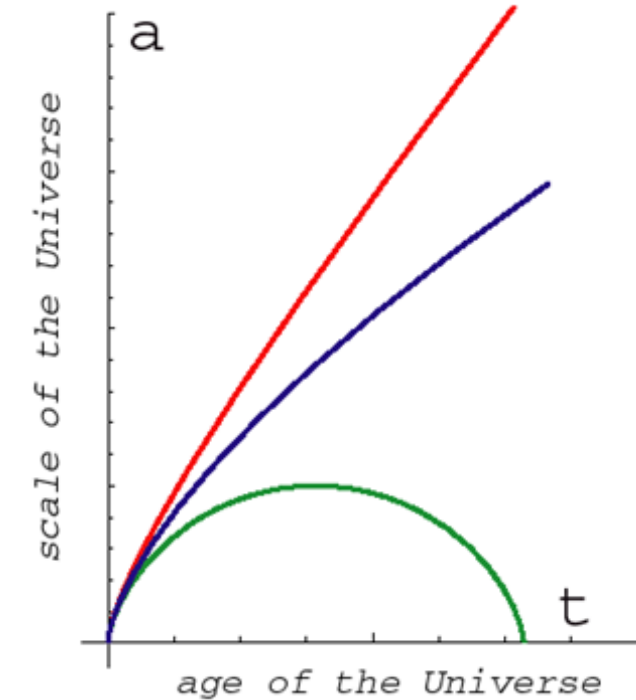
$$\frac{3C^2}{8\pi G} H^2 = \rho_m - \rho_k$$

↓  
*expansion*  
↓  
*matéria*  
↓  
*curvature*

Geometry

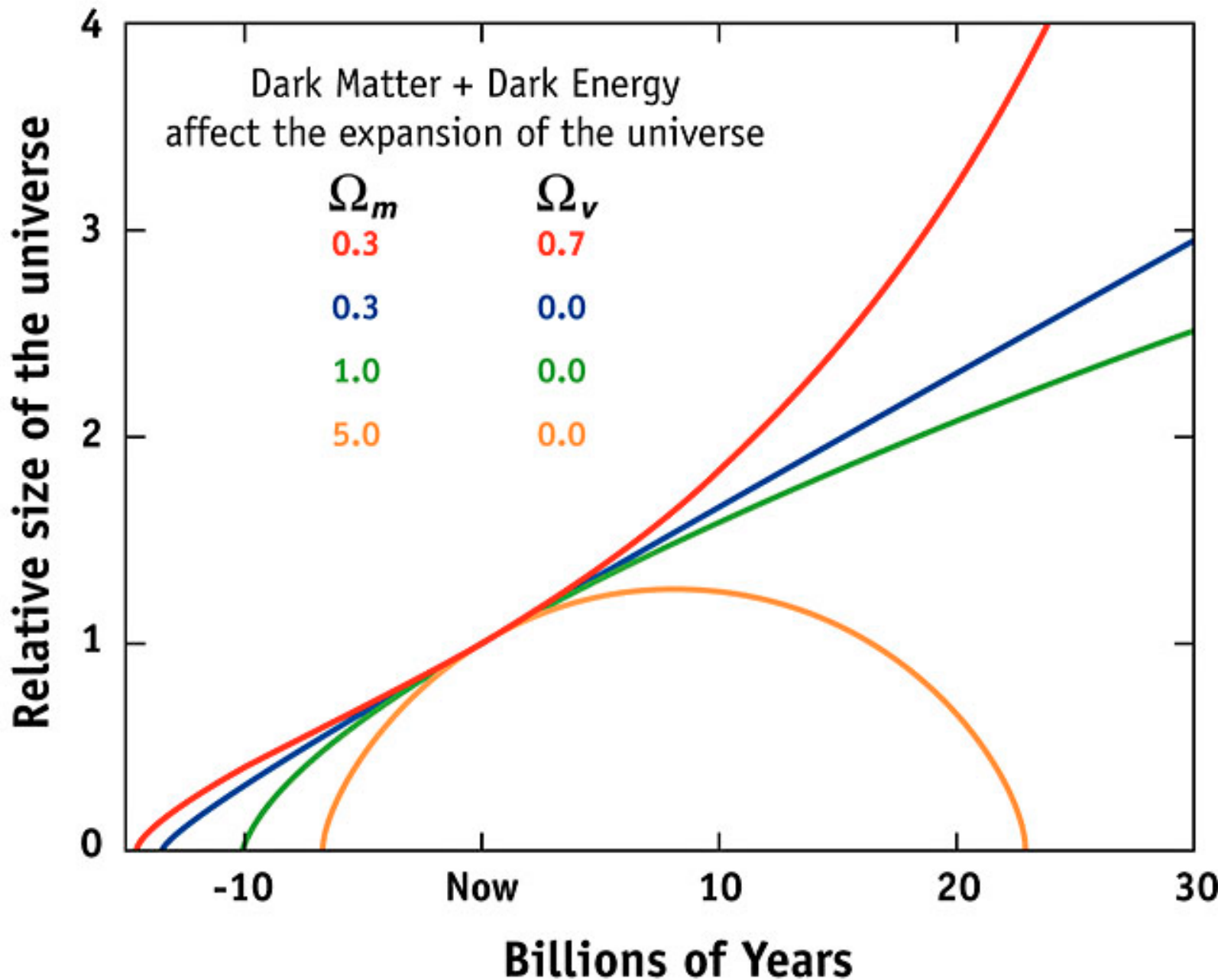


Cosmology



Crédito: Robert Caldwell (Dartmouth College)

# EXPANSION OF THE UNIVERSE



Modelo “padrão” do início dos anos 90

$$a(t) = \frac{t}{t_0})^{2/3}$$
$$\Omega_0 = \Omega_m$$
$$\left(\frac{H(t)}{H_0}\right)^2 = \frac{\Omega_0}{a^2} + \frac{1 - \Omega_0}{a^2}$$

52

53

 Possibilidades, expansão, expansão assintótica e contração:

- ✓  $\Omega_0 > 1$  ( $k = 1$ ) contração (Big Crunch)
- ✓  $\Omega_0 = 1$  ( $k = 0$ ) expansão assintótica (Big Chill,  $a \propto t^{2/3}$ )
- ✓  $\Omega_0 < 1$  ( $k = -1$ ) expansão (Big Chill,  $a \propto t$ )

- Nesse caso, a densidade define o destino do Universo.
- Soluções paramétricas para a eq. (53), com termos em seno, cosseno ( $k=+1$ ) e seno e cosseno hiperbólicos ( $k=-1$ )

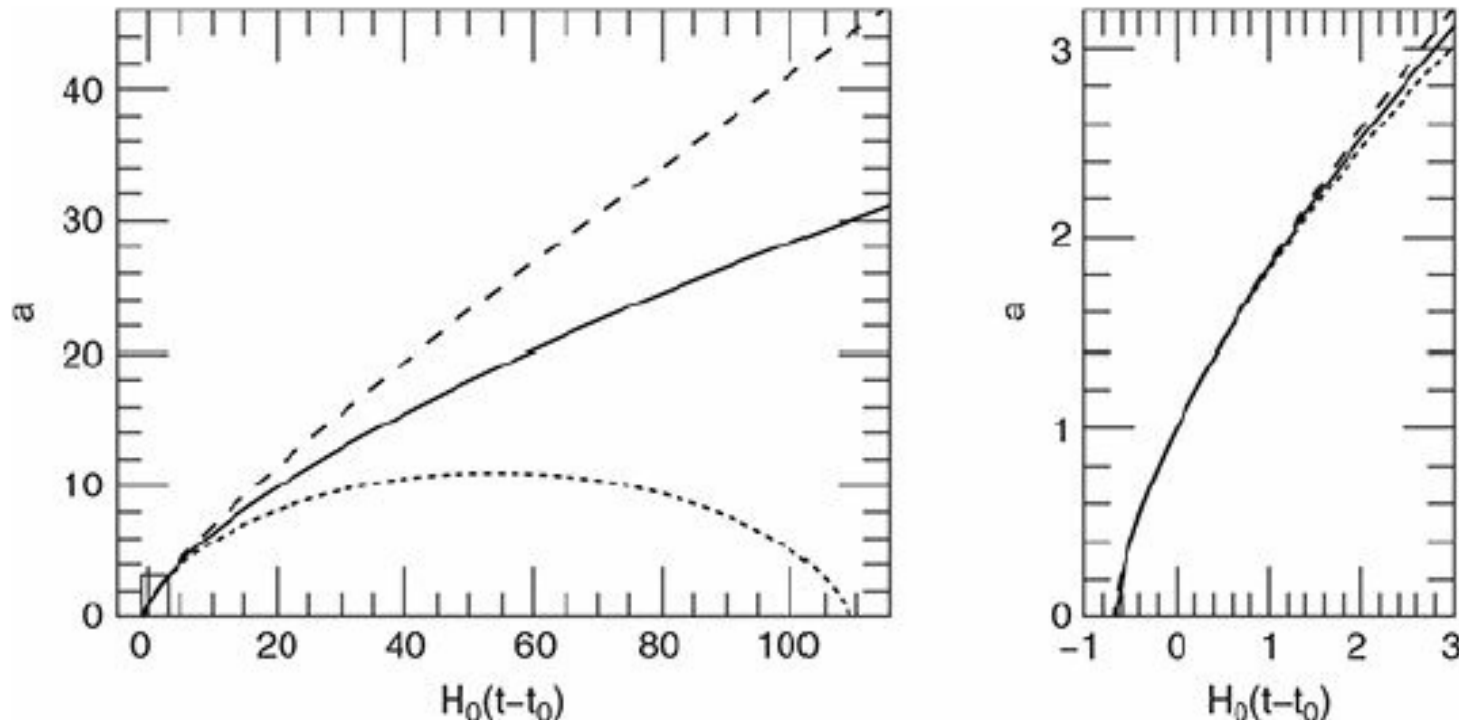


Figure 5.4 Scale factor versus time for universes containing only matter. Solid line:  $a(t)$  for a universe with  $\Omega_0 = 1$  (flat). Dashed line:  $a(t)$  for a universe with  $\Omega_0 = 0.9$  (negatively curved). Dotted line:  $a(t)$  for a universe with  $\Omega_0 = 1.1$  (positively curved). The right panel is a blow-up of the small rectangle near the lower left corner of the left panel.

Modelo “padrão” atual

$$\Omega_{\Lambda,0} = 1 - \Omega_{M,0}$$

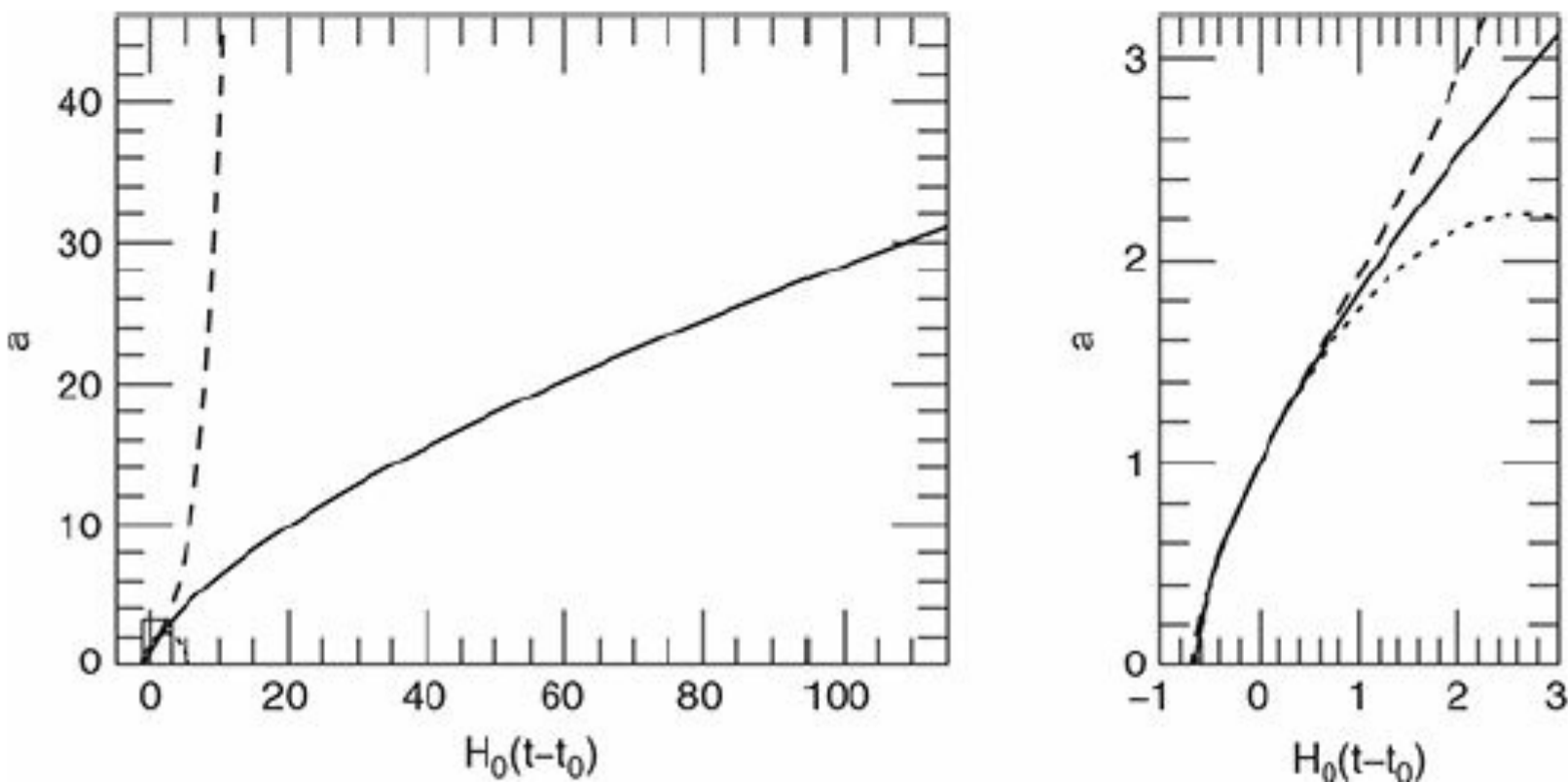
54

$$\left(\frac{H(t)}{H_0}\right)^2 = \frac{\Omega_{M,0}}{a^3} + 1 - \Omega_{M,0}$$

55

 Possibilidades: expansão e contração, se  $\Omega_\Lambda < 0$ :

- ✓ Aparentemente, nosso Universo tem  $\Lambda > 0$



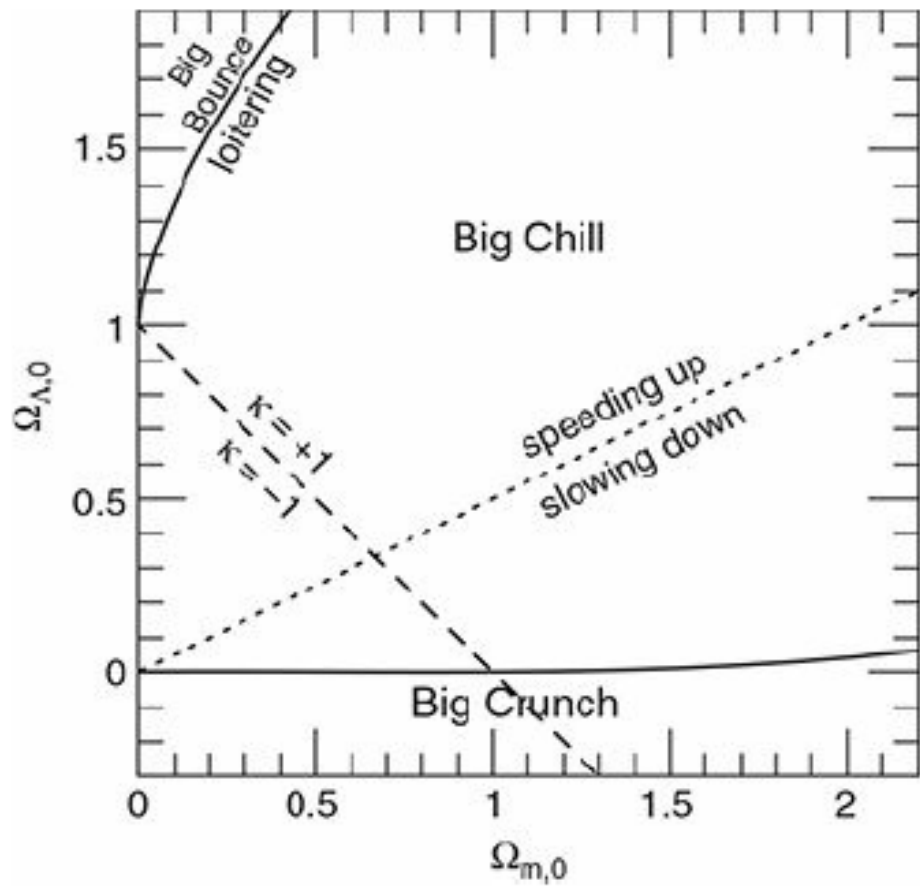
**Figure 5.5** Scale factor versus time for flat universes containing both matter and a cosmological constant. Solid line:  $a(t)$  for a universe with  $\Omega_{m,0} = 1, \Omega_{\Lambda,0} = 0$ . Dashed line:  $a(t)$  for a universe with  $\Omega_{m,0} = 0.9, \Omega_{\Lambda,0} = 0.1$ . Dotted line:  $a(t)$  for a universe with  $\Omega_{m,0} = 1.1, \Omega_{\Lambda,0} = -0.1$ . The right panel is a blow-up of the small rectangle near the lower left corner of the left panel.

- Modelo “padrão” atual com as tensões apresentadas nos últimos 2 anos (e.g., Valentino et al. 2019):

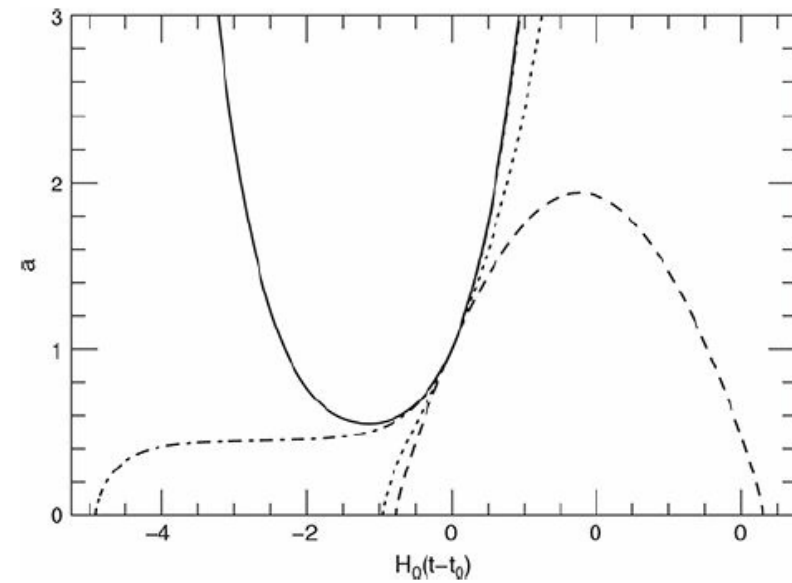
$$\left(\frac{H(t)}{H_0}\right)^2 = \frac{\Omega_{M,0}}{a^3} + \frac{1 - \Omega_{m,0} - \Omega_{\Lambda,0}}{a^2} + \Omega_{\Lambda,0}$$

56

- Possibilidades: expansão e contração, se  $\Omega_{\Lambda} < 0$ :
  - ✓ Aparentemente, nosso Universo tem  $\Lambda > 0$



**Figure 5.6** Properties of universes containing matter and a cosmological constant. The dashed line indicates flat universes ( $\kappa = 0$ ). The dotted line indicates universes that are not accelerating today ( $a_0 = 0$  at  $a = 1$ ). Also shown are the regions where the universe has a “Big Chill” expansion ( $a \rightarrow \infty$  as  $t \rightarrow \infty$ ), a “Big Crunch” recollapse ( $a \rightarrow 0$  as  $t \rightarrow t_{\text{crunch}}$ ), a loitering phase ( $a \approx \text{constant}$  for an extended period), or a “Big Bounce” ( $a = a_{\min} > 0$  at  $t = t_{\text{bounce}}$ ).



**Figure 5.7** Scale factor versus time in four different universes, each with  $\Omega_{m,0} = 0.31$ . Dotted line: a flat “Big Chill” universe ( $\Omega_{\Lambda,0} = 0.69$ ,  $\kappa = 0$ ). Dashed line: a “Big Crunch” universe ( $\Omega_{\Lambda,0} = -0.31$ ,  $\kappa = -1$ ). Dot-dash line: a loitering universe ( $\Omega_{\Lambda,0} = 1.7289$ ,  $\kappa = +1$ ). Solid line: a “Big Bounce” universe ( $\Omega_{\Lambda,0} = 1.8$ ,  $\kappa = +1$ ).

- Universo dominado por radiação desde o Big Bang, com a transição ocorrendo em  $t \sim 50.000$  anos

$$\left(\frac{H(t)}{H_0}\right)^2 = \frac{\Omega_{r,0}}{a^4} + \frac{\Omega_{m,0}}{a^3}$$

59

- Isso justifica, junto com o valor da densidade de radiação hoje, desconsiderarmos sua contribuição no cálculo da densidade total do Universo.

# MODELO COSMOLÓGICO PADRÃO (BENCHMARK)

# Parâmetros cosmológicos

Parameter	Meaning	Definition
$\omega_b$	Baryon density	$\omega_b = \Omega_b h^2$
$\omega_d$	Dark matter density	$\omega_d = \Omega_d h^2$
$f_\nu$	Dark matter neutrino fraction	$f_\nu = \rho_\nu / \rho_d$
$\Omega_\Lambda$	Dark energy density	
$w$	Dark energy equation of state	$p_\Lambda / \rho_\Lambda$ (approximated as constant)
$\Omega_k$	Spatial curvature	
$\tau$	Reionization optical depth	
$A_s$	Scalar fluctuation amplitude[IC]	Primordial scalar power at chosen pivot $k_* = 0.05/\text{Mpc}$
$n_s$	Scalar spectral index [IC]	Primordial spectral index at $k_*$
$\alpha$	Running of spectral index[IC]	$\alpha = d \ln n_s / d \ln k$ (approximated as constant)
$r$	Tensor-to-scalar ratio[IC]	Tensor-to-scalar power ratio at $k_*$
$n_t$	Tensor spectral index [IC]	
$z_{\text{ion}}$	Reionization redshift (abrupt)	$z_{\text{ion}} \approx 92(0.03h\tau/\omega_b)^{2/3}\Omega_m^{1/3}$ (assuming abrupt reionization)
$\omega_m$	Physical matter density	$\omega_m = \omega_b + \omega_d = \Omega_m h^2$
$\Omega_m$	Matter density/critical density	$\Omega_m = 1 - \Omega_\Lambda - \Omega_k$
$\Omega_{\text{tot}}$	Total density/critical density	$\Omega_{\text{tot}} = \Omega_m + \Omega_\Lambda = 1 - \Omega_k$
$A_t$	Tensor fluctuation amplitude	$A_t = r A_s$
$M_\nu$	Sum of neutrino masses	$M_\nu \approx (94.4 \text{ eV}) \times \omega_d f_\nu$
$h$	Hubble parameter	$h = \sqrt{(\omega_d + \omega_b)/(1 - \Omega_k - \Omega_\Lambda)}$
$t_0$	Age of Universe	
$\sigma_8$	Galaxy fluctuation amplitude within sphere $R = 8h^{-1}\text{Mpc}$	$\sigma_R^2 = \int_0^\infty W[kR]^2 P(k) \frac{k^2 dk}{2\pi^2},$ $W(x) = 3(\sin x - x \cos x)/x^3$

# PLANCK 2018 results

Parameter	Plik best fit	Plik [1]	CamSpec [2]	$([2] - [1])/\sigma_1$	Combined
$\Omega_b h^2$ . . . . .	0.022383	$0.02237 \pm 0.00015$	$0.02229 \pm 0.00015$	-0.5	$0.02233 \pm 0.00015$
$\Omega_c h^2$ . . . . .	0.12011	$0.1200 \pm 0.0012$	$0.1197 \pm 0.0012$	-0.3	$0.1198 \pm 0.0012$
$100\theta_{\text{MC}}$ . . . . .	1.040909	$1.04092 \pm 0.00031$	$1.04087 \pm 0.00031$	-0.2	$1.04089 \pm 0.00031$
$\tau$ . . . . .	0.0543	$0.0544 \pm 0.0073$	$0.0536^{+0.0069}_{-0.0077}$	-0.1	$0.0540 \pm 0.0074$
$\ln(10^{10} A_s)$ . . . . .	3.0448	$3.044 \pm 0.014$	$3.041 \pm 0.015$	-0.3	$3.043 \pm 0.014$
$n_s$ . . . . .	0.96605	$0.9649 \pm 0.0042$	$0.9656 \pm 0.0042$	+0.2	$0.9652 \pm 0.0042$
$\Omega_m h^2$ . . . . .	0.14314	$0.1430 \pm 0.0011$	$0.1426 \pm 0.0011$	-0.3	$0.1428 \pm 0.0011$
$H_0$ [ km s <sup>-1</sup> Mpc <sup>-1</sup> ] . . .	67.32	$67.36 \pm 0.54$	$67.39 \pm 0.54$	+0.1	$67.37 \pm 0.54$
$\Omega_m$ . . . . .	0.3158	$0.3153 \pm 0.0073$	$0.3142 \pm 0.0074$	-0.2	$0.3147 \pm 0.0074$
Age [Gyr] . . . . .	13.7971	$13.797 \pm 0.023$	$13.805 \pm 0.023$	+0.4	$13.801 \pm 0.024$
$\sigma_8$ . . . . .	0.8120	$0.8111 \pm 0.0060$	$0.8091 \pm 0.0060$	-0.3	$0.8101 \pm 0.0061$
$S_8 \equiv \sigma_8(\Omega_m/0.3)^{0.5}$ . . .	0.8331	$0.832 \pm 0.013$	$0.828 \pm 0.013$	-0.3	$0.830 \pm 0.013$
$z_{\text{re}}$ . . . . .	7.68	$7.67 \pm 0.73$	$7.61 \pm 0.75$	-0.1	$7.64 \pm 0.74$
$100\theta_*$ . . . . .	1.041085	$1.04110 \pm 0.00031$	$1.04106 \pm 0.00031$	-0.1	$1.04108 \pm 0.00031$
$r_{\text{drag}}$ [Mpc] . . . . .	147.049	$147.09 \pm 0.26$	$147.26 \pm 0.28$	+0.6	$147.18 \pm 0.29$

Ade et al. <https://arxiv.org/abs/1807.06209>, A&A (2020)

**Table 5.2** Properties of the Benchmark Model.

*List of ingredients*

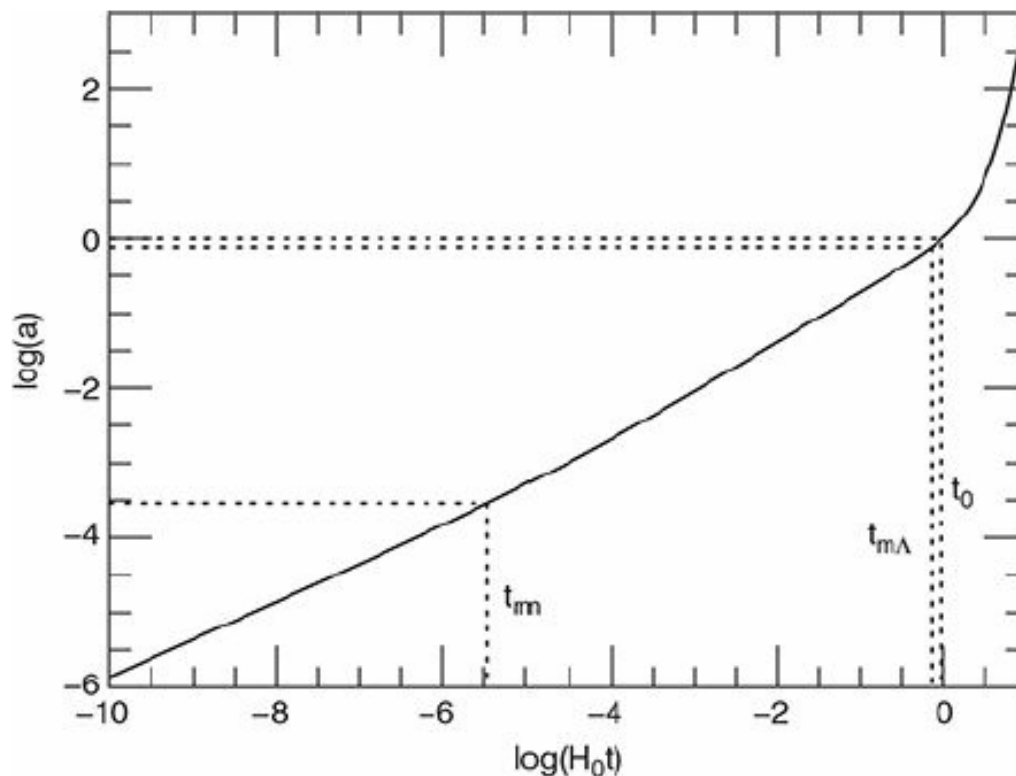
Photons:	$\Omega_{\gamma,0} = 5.35 \times 10^{-5}$
Neutrinos:	$\Omega_{\nu,0} = 3.65 \times 10^{-5}$
<b>Total radiation:</b>	$\Omega_{r,0} = 9.0 \times 10^{-5}$

Baryonic matter:	$\Omega_{\text{bary},0} = 0.048$
Nonbaryonic dark matter:	$\Omega_{\text{dm},0} = 0.262$
<b>Total matter:</b>	$\Omega_{m,0} = 0.31$

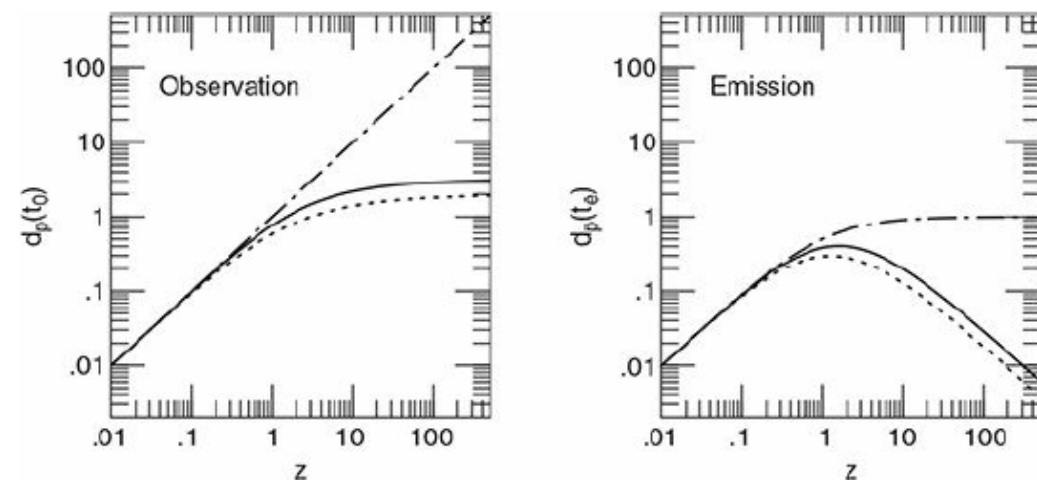
<b>Cosmological constant:</b>	$\Omega_{\Lambda,0} \approx 0.69$
-------------------------------	-----------------------------------

*Important epochs*

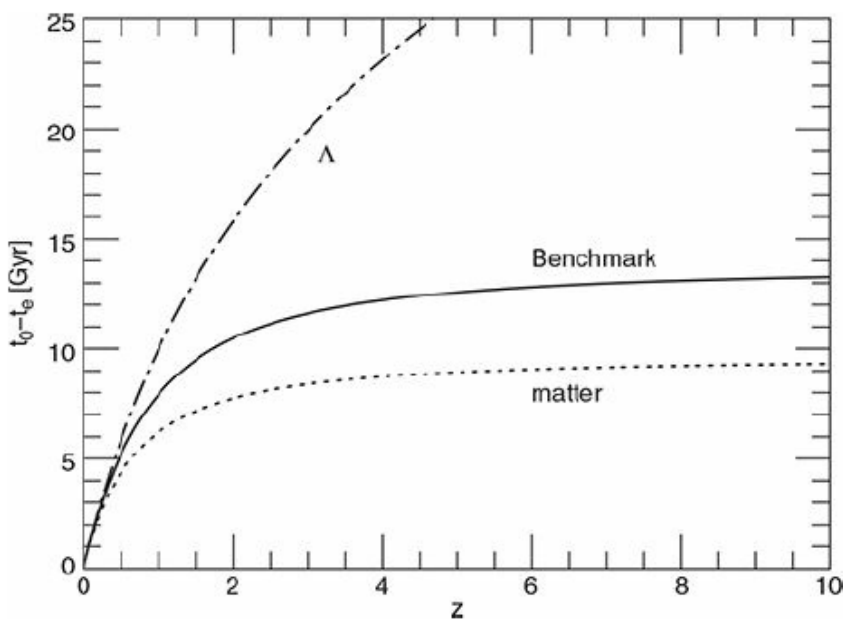
Radiation-matter equality:	$a_{rm} = 2.9 \times 10^{-4}$	$t_{rm} = 0.050 \text{ Myr}$
Matter-lambda equality:	$a_{m\Lambda} = 0.77$	$t_{m\Lambda} = 10.2 \text{ Gyr}$
Now:	$a_0 = 1$	$t_0 = 13.7 \text{ Gyr}$



**Figure 5.8** The scale factor  $a$  as a function of time  $t$  (measured in units of the Hubble time), computed for the Benchmark Model. The dotted lines indicate the time of radiation-matter equality,  $a_{rm} = 2.9 \times 10^{-4}$ , the time of matter-lambda equality,  $a_{m\Lambda} = 0.77$ , and the present moment,  $a_0 = 1$ .



**Figure 5.9** The proper distance to a light source with redshift  $z$ , in units of the Hubble distance,  $c/H_0$ . The left panel shows the distance at the time of observation; the right panel shows the distance at the time of emission. The bold solid line indicates the Benchmark Model. For comparison, the dot-dash line indicates a flat, lambda-only universe, and the dotted line a flat matter-only universe.

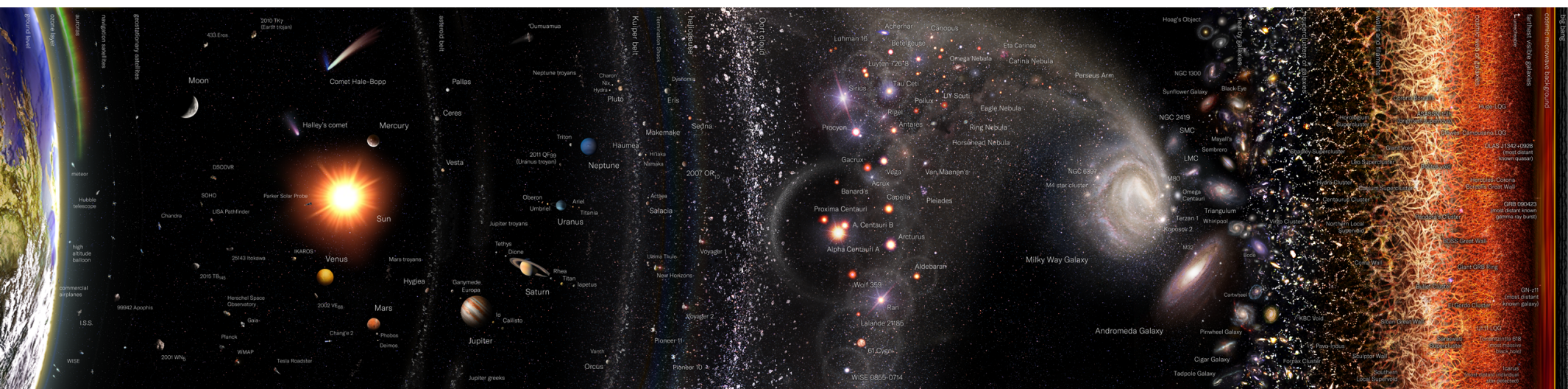


**Figure 5.10** The lookback time,  $t_0 - t_e$ , for galaxies with observed redshift  $z$ . The Hubble time is assumed to be  $H_0^{-1} = 14.4$  Gyr. The bold solid line shows the result for the Benchmark Model. For comparison, the dot-dash line indicates a flat, lambda-only universe, and the dotted line a flat, matter-only universe.

Ref: Introduction to Cosmology (B.Ryden, 2016)



# FIM



Pablo Carlos Budassi  
[https://en.wikipedia.org/wiki/Observable\\_universe](https://en.wikipedia.org/wiki/Observable_universe)



